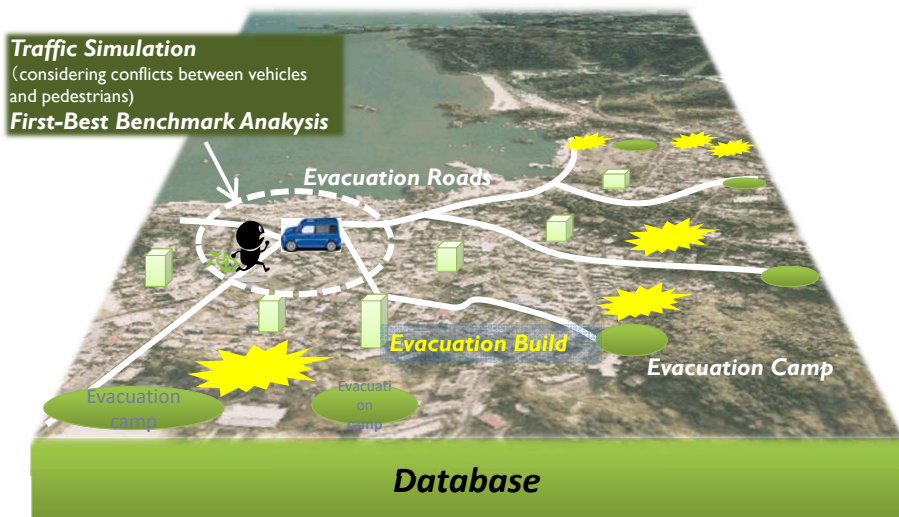


# 規範的避難行動によるベンチマーク解析

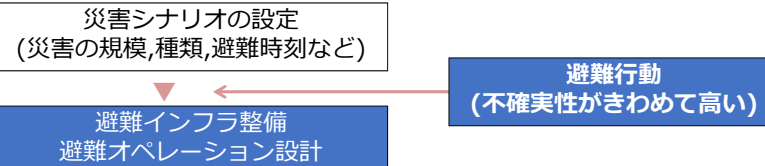
2017年5月13日  
愛媛大学 坊ちゃんセミナー

東北大学大学院情報科学研究科  
桑原雅夫

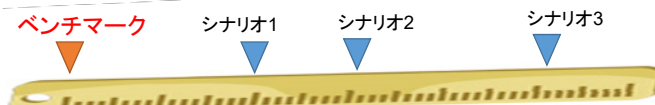
## 避難インフラ整備、オペレーションの設計と評価



## 規範的避難行動によるベンチマーク解析



無数のシナリオが存在、避難行動の不確実性  
→ 基準となるシナリオと避難パフォーマンスが必要(ベンチマーク)  
= 現存インフラにおいて避難行動を最適に制御した場合



ベンチマーク(ものさし)が必要

3

## 規範的避難行動によるベンチマーク解析

避難行動の最適制御 = **経路と避難開始時刻**を最適に制御  
(ネットワーク上に待ち行列を作らせない)

線形計画問題(柔軟なモデル化)

### 目的関数

- 総避難時間の最小化
- 避難完了時間の最小化
- 危険場所存在人数の最小化

### トリップ行動

- 避難トリップ
- 避難以外のトリップ
- ピックアップ行動(トリップチェイン)
- 車、歩行者トリップとそれらの錯綜現象

4

## 各種のLP定式化

	目的関数	備考
P0	総避難時間最小化(起点での待ち時間含む) m=1 避難完了時刻最小化 m > 1	避難所選択あり
P1	総避難時間最小化(起点での待ち時間含む) m=1 避難完了時刻最小化 m > 1	避難所選択なし (予め決められた避難所に避難)
P2	総避難時間最小化(起点での待ち時間含む) m=1 避難完了時刻最小化 m > 1	避難所選択あり／なしの混合
P3	総避難時間最小化(起点での待ち時間含む) m=1 避難完了時刻最小化 m > 1	避難所選択あり／なしの混合 トリップチェインの考慮(ピックアップ行動)
P4	総避難時間最小化(起点での待ち時間含む) m=1 避難完了時刻最小化 m > 1 場所の危険度の最小化を追加	場所の危険度の考慮
3.2.4.(1)	総避難時間最小化(起点での待ち時間含まない)	避難の移動時間のみの最小化 (起点での待ち時間含まない)
3.2.4.(2)	上記のいずれでもOK	自動車と歩行者トリップの錯綜の考慮
3.2.4.(3)	上記のいずれでもOK	自動車と歩行者のトリップシェアの最適化

5

### $P_0$ (Basic Model)

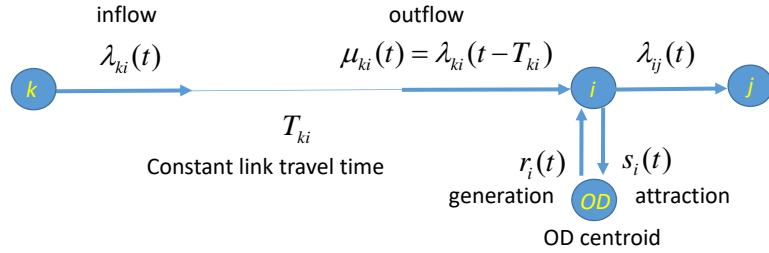
- All people are evacuees
- Total evacuation demand from each origin node is given
- Evacuees' travel choices below are optimized to minimize the objective function
  - (1) *Departure time* from the origin
  - (2) Evacuation *routes*
  - (3) Evacuation *shelters* (= destination nodes)

- Objective function
  - (1) Total evacuation time
  - (2) Completion time of evacuation



Fig. 1 Cumulative Departure and Arrival Curves during Evacuation 6

*Flow Conservation at node i without queues*



$$-\sum_k \lambda_{ki}(t - T_{ki}) + \sum_j \lambda_{ij}(t) - r_i(t) + s_i(t) = 0,$$

$$k, i, j \in Node, \quad \forall t.$$

7

$$P_0(Q, \mu): \quad \text{Min} \sum_t \sum_i \underbrace{t}_{\text{Arrival time at shelters}} \cdot \underbrace{s_i(t)}_{\text{\# of arrivals}},$$

Total evacuation time

$$-\sum_k \lambda_{ki}(t - T_{ki}) + \sum_j \lambda_{ij}(t) - r_i(t) + s_i(t) = 0, \quad i \in N, \quad \forall t \quad \text{Flow conservation at node i}$$

$$\lambda_{ij}(t) \leq \mu_{ij}, \quad \forall (i, j) \in L, \quad \forall t \quad \text{Link capacity constraint}$$

$$\sum_{t=1}^T r_i(t) = Q_i \quad (\text{given}) \quad \forall i \in N \quad \text{Given demand from node i}$$

$$\sum_{t=1}^T \sum_i s_i(t) = \sum_i Q_i \quad \forall i \in N \quad \text{Demand constraint at destination}$$

$$\lambda_{ij}(t) \geq 0, \quad \forall (i, j) \in L, \quad \forall t$$

$$r_i(t) = \begin{cases} \geq 0, & \forall i \in O, \quad \forall t \\ = 0, & \forall i \notin O, \quad \forall t \end{cases} \quad \text{Non-negative constraint}$$

$$s_i(t) = \begin{cases} \geq 0, & \forall i \in D, \quad \forall t \\ = 0, & \forall i \notin D, \quad \forall t \end{cases}$$

$$\sum_{t=1}^T s_i(t) \leq C_i, \quad \forall i \in D \quad \text{Shelter capacity constraint}$$

8

**P<sub>1</sub>** (no shelter choice = shelters are assigned to evacuees in advance)

- Total evacuation OD demand is given
- Following evacuees' choices are optimized:
  - (1) *Departure time* from the origin
  - (2) Evacuation *routes*

$$\begin{aligned}
 P_1(Q, \mu): \quad & \text{Min} \sum_t \sum_{od} t \cdot q_{od}(t), \\
 & - \sum_k \lambda_{ki}^o(t - T_{ki}) + \sum_j \lambda_{ij}^o(t) + q_{oi}(t) = 0, \quad \forall i \in N, \quad \forall i \neq o \in O, \forall t; \\
 & \sum_{t=1}^T q_{od}(t) = Q_{od} \quad (\text{given}) \quad \forall o \in O, \quad \forall d \in D; \\
 & \sum_o \lambda_{ij}^o(t) \leq \mu_{ij}, \quad \forall (i, j) \in L, \quad \forall t; \\
 & \lambda_{ij}^o(t) \geq 0, \quad \forall (i, j) \in L, \quad \forall o \in O, \quad \forall t; \\
 & q_{od}(t) \geq 0, \quad \forall o \in O, \quad \forall d \in D, \quad \forall t;
 \end{aligned}$$

9

## Extensions

- P<sub>0</sub> Shelter choice (Basic Model)
- P<sub>1</sub> No shelter choice
- P<sub>2</sub> Shelter choice + No shelter choice
- P<sub>3</sub> Trip chain (pick-up behavior)

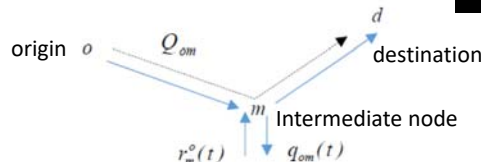


Fig. 2 Illustration of Trip-Chain Trip



- P<sub>4</sub> Risk on a way to a shelter
- P<sub>5</sub> Vehicle conflict with pedestrians
- P<sub>6</sub> Optimum share of vehicle and pedestrian trips

10

## Enormous number of unknowns → Decomposition of the LP

The number of unknowns tends to be enormous.

$$\lambda_{ij}^o(t) \rightarrow (\# \text{ of origins}) \times (\# \text{ of links}) \times (\# \text{ of time intervals})$$

$$500 \times 5000 \times 500 = 1.25 \times 10^9$$

e.g.) Ishinomaki network (middle size)

Decompose the LP by  
*Lagrangian Relaxation Method*



11

$$\begin{aligned}
 P_1(Q, \mu): \quad & \text{Min} \sum_t \sum_{od} t \cdot q_{od}(t), \\
 & - \sum_k \lambda_{ki}^o(t - T_{ki}) + \sum_j \lambda_{ij}^o(t) + q_{oi}(t) = 0, \quad \forall i \in N, \quad \forall i \neq o \in O, \forall t; \\
 & \sum_{t=1}^T q_{od}(t) = Q_{od} \quad (\text{given}) \quad \forall o \in O, \quad \forall d \in D; \\
 & \boxed{\sum_o \lambda_{ij}^o(t) \leq \mu_{ij}}, \quad \forall (i, j) \in L, \quad \forall t; \\
 & \lambda_{ij}^o(t) \geq 0, \quad \forall (i, j) \in L, \quad \forall o \in O, \quad \forall t; \\
 & q_{od}(t) \geq 0, \quad \forall o \in O, \quad \forall d \in D, \quad \forall t;
 \end{aligned}$$

Without this constraint, the feasible region of LP is independent of origin  $o$ .

12

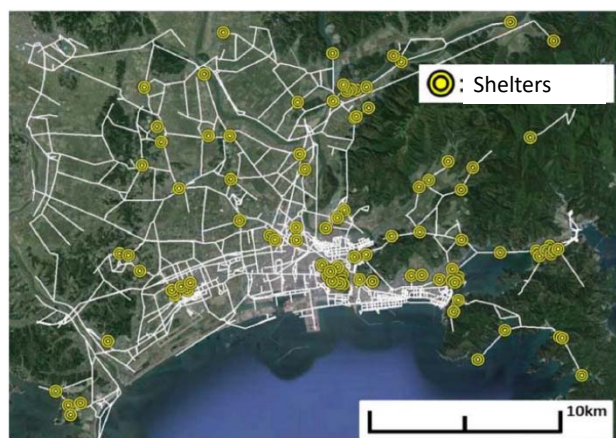
Non-negative coefficients

$$\begin{aligned}
 P'_1(Q, \mu): \quad & \text{Min} \sum_t \sum_{od} t \cdot q_{od}(t) + \sum_{ij,t} B_{ij}(t) \left( \sum_o \lambda_{ij}^o(t) - \mu_{ij} \right) \\
 & - \sum_k \lambda_{ik}^o(t - T_{ik}) + \sum_j \lambda_{ij}^o(t) + q_{oi}(t) = 0, \quad \forall i \in N, \quad \forall i \neq o \in O, \forall t; \\
 & \sum_{t=1}^T q_{od}(t) = Q_{od} \quad (\text{given}) \quad \forall o \in O, \quad \forall d \in D; \\
 & \sum_o \lambda_{ij}^o(t) \leq \mu_{ij}, \quad \forall (i, j) \in L, \quad \forall t; \\
 & \lambda_{ij}^o(t) \geq 0, \quad \forall (i, j) \in L, \quad \forall o \in O, \quad \forall t; \\
 & q_{od}(t) \geq 0, \quad \forall o \in O, \quad \forall d \in D, \quad \forall t;
 \end{aligned}$$

Given non-negative coefficients  $B_{ij}(t)$ , P1' can be decomposed with respect to origin  $o$  (and  $d$ ).

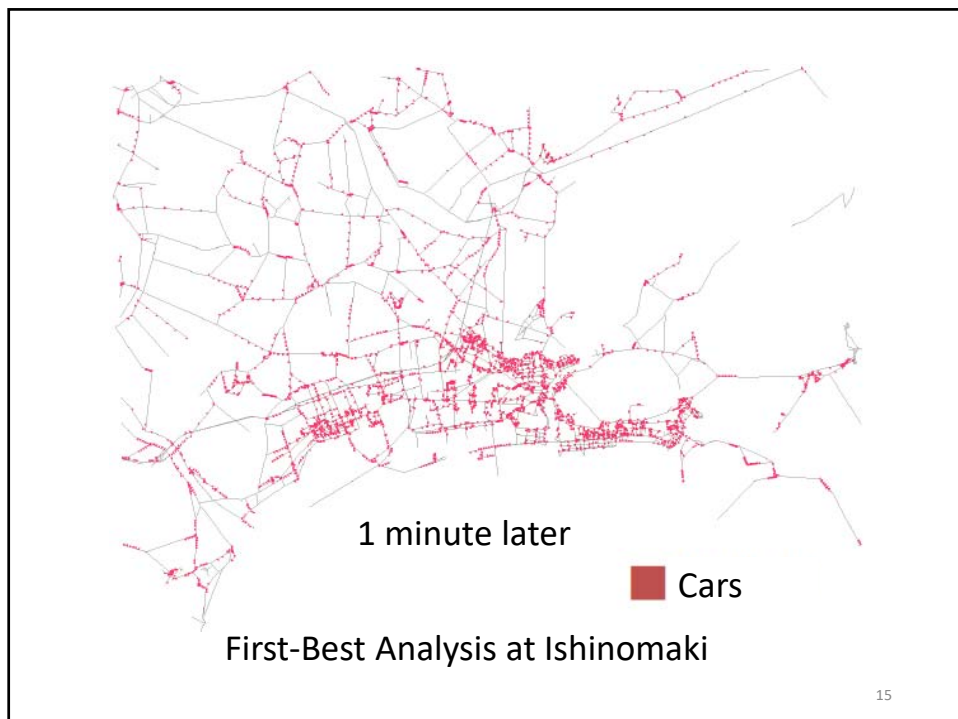
13

### Application to Ishinomaki

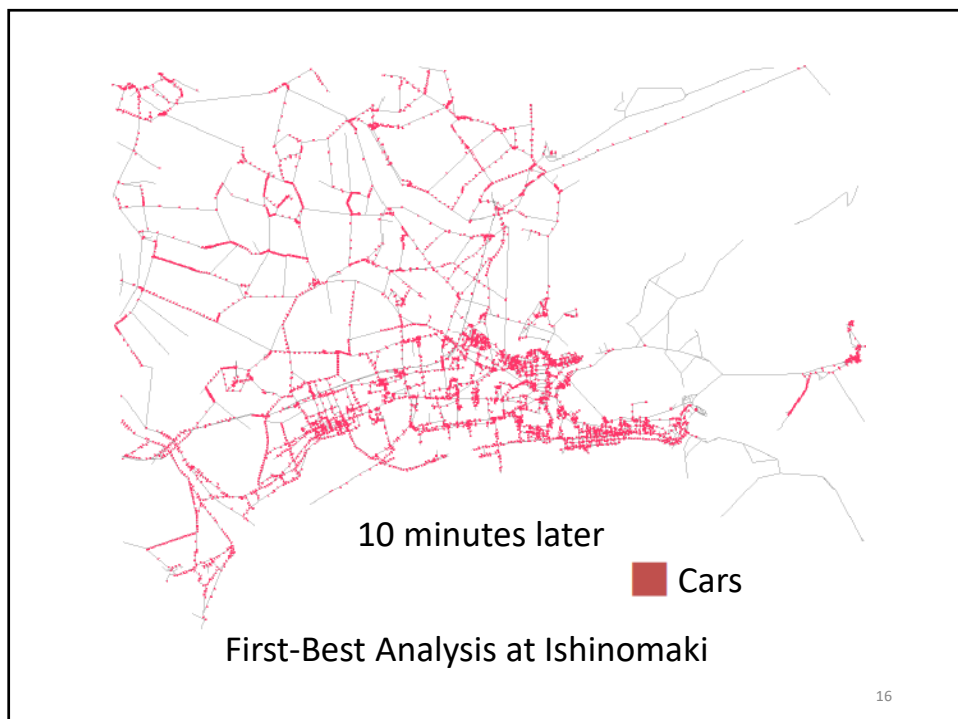


# of links = 5418, # of nodes = 2086  
 # of origins = 521, # of shelters = 95  
 # of total demand = 43986 veh,  $\Delta t = 10$  sec

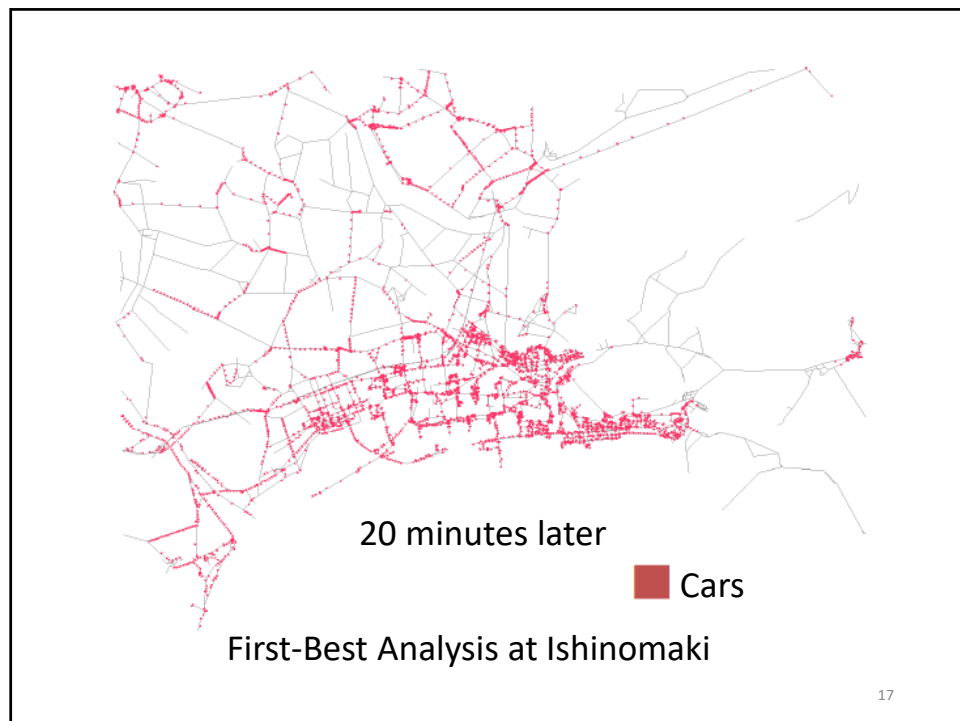
14



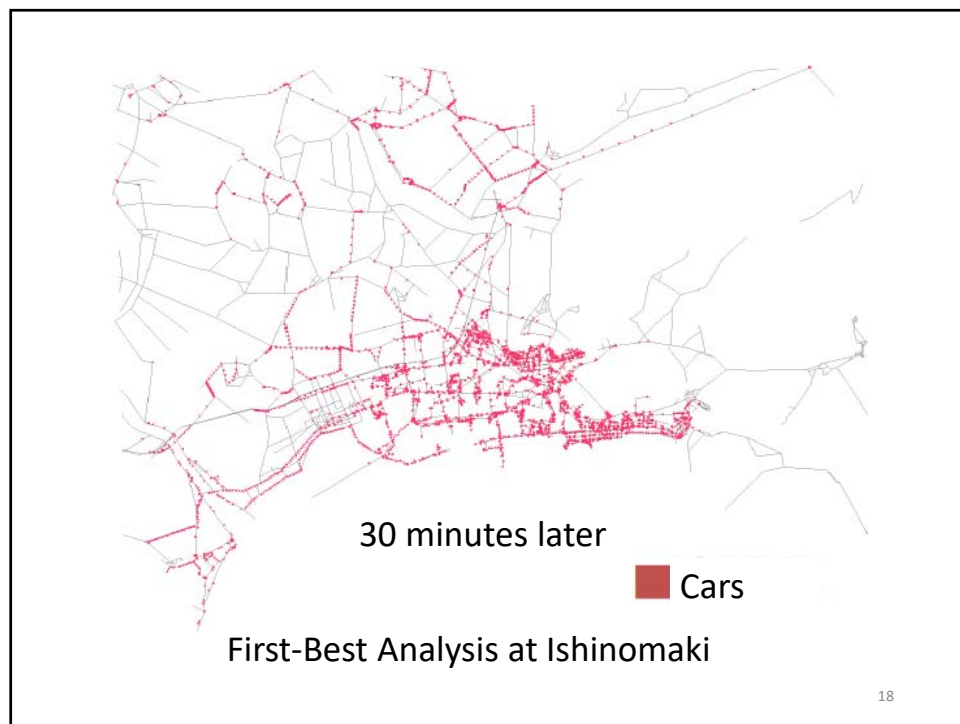
15



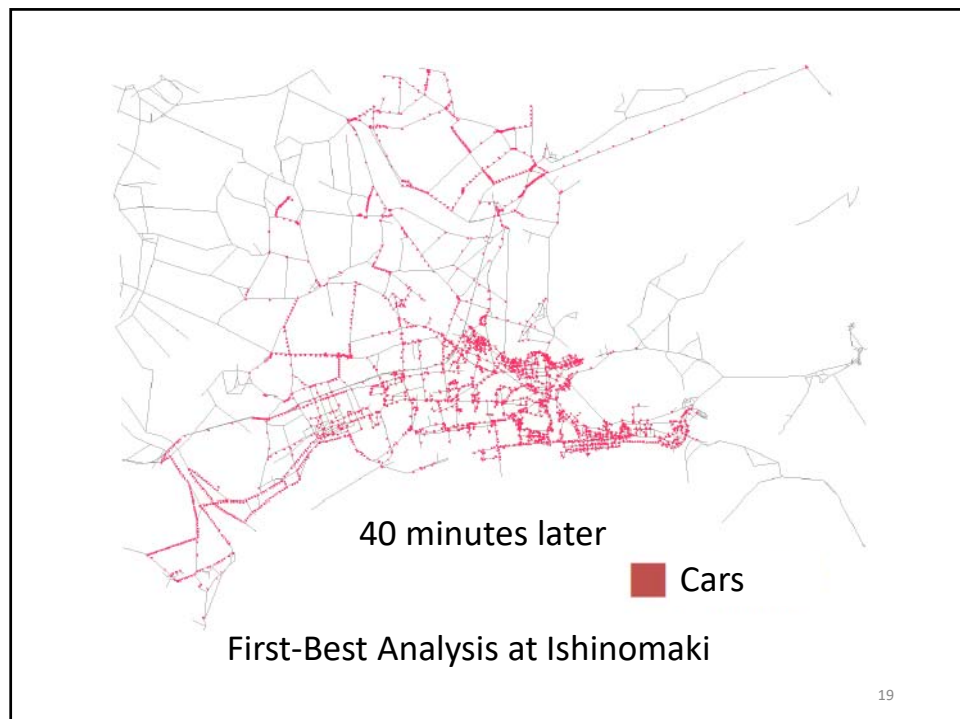
16



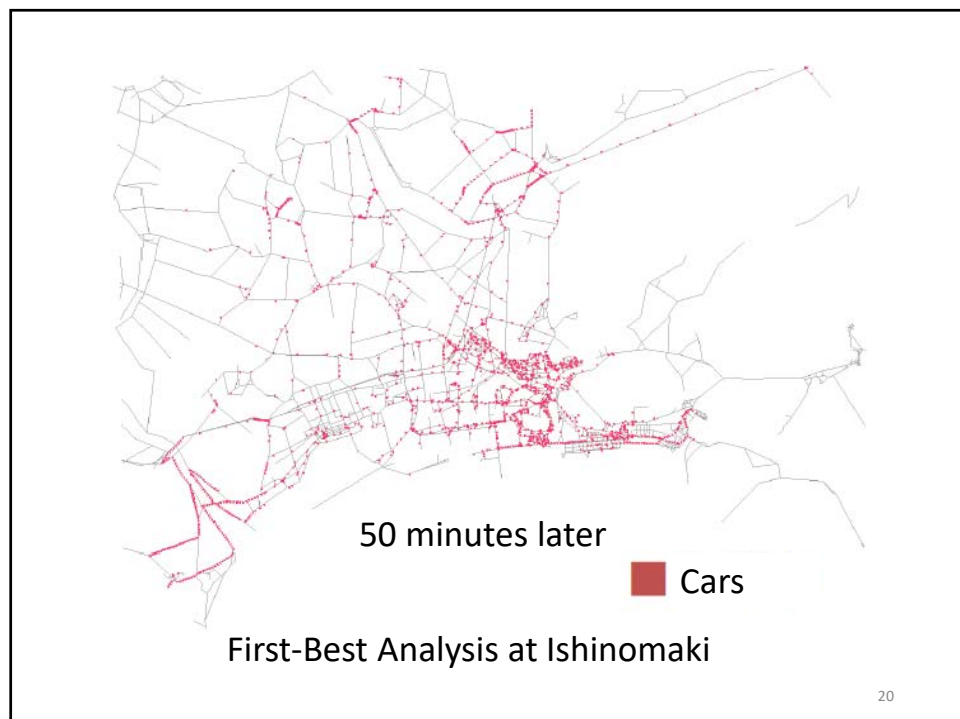
17



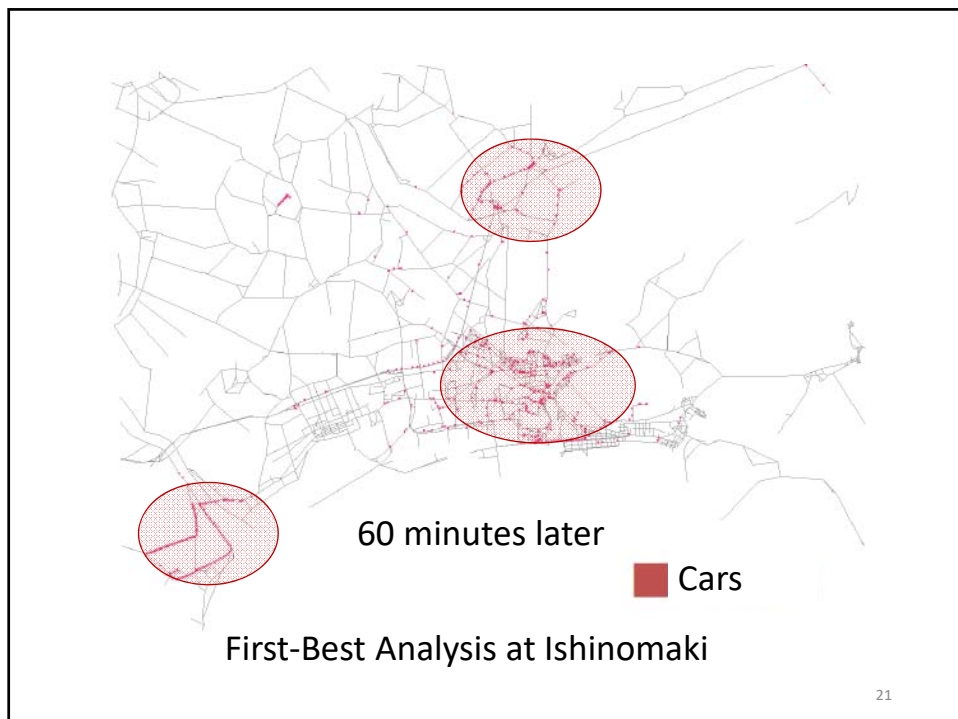
18



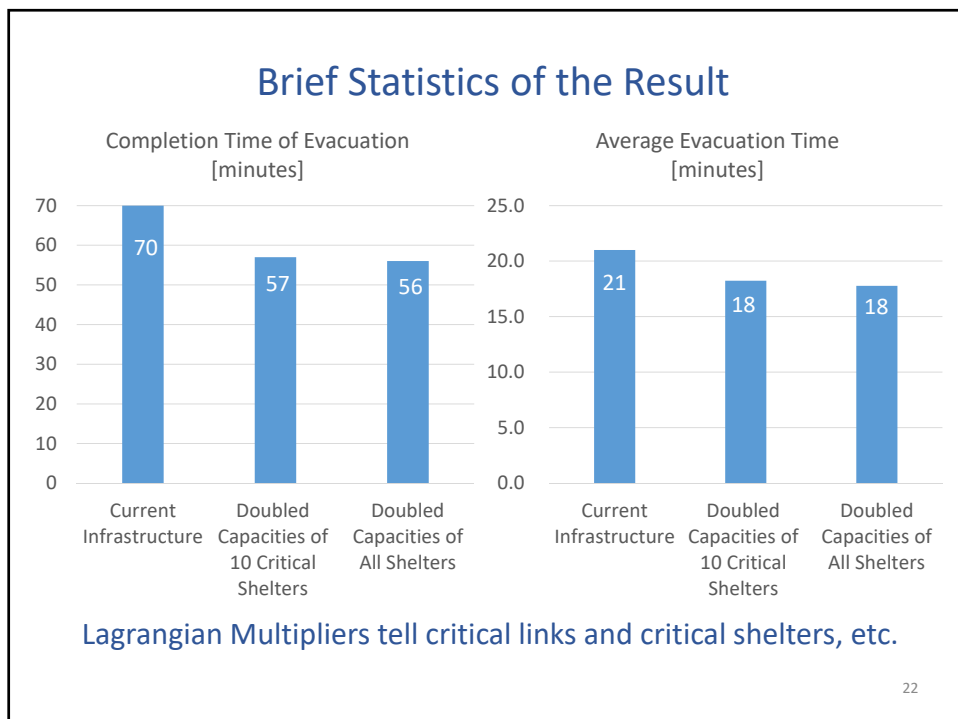
19



20

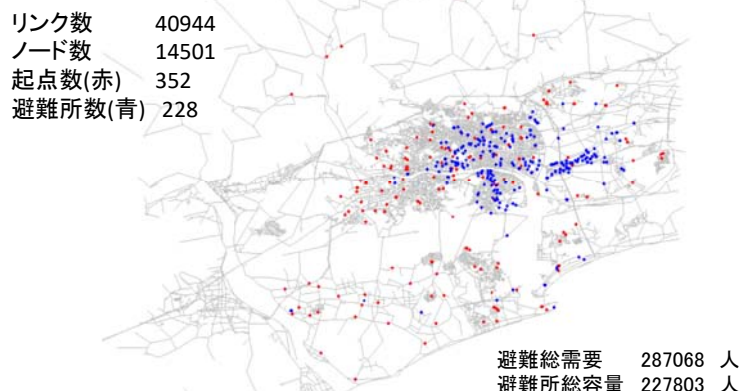


21



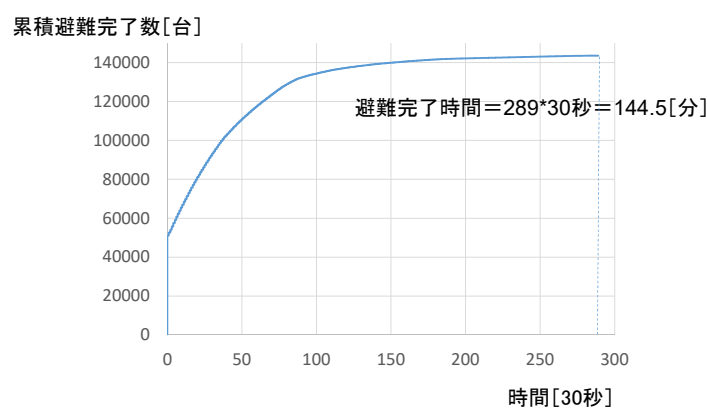
22

## 高知都市圏への適用 <第1次の試算>



23

規範モデル仕様  
避難所選択あり  
変数の数 14948640 (内 Flow変数 14739840)  
時間単位 30秒  
計算時間 360\*30秒=3時間  
避難需要 2人／台として、全員車を利用と仮定  
道路リンク容量 720台／時／車線



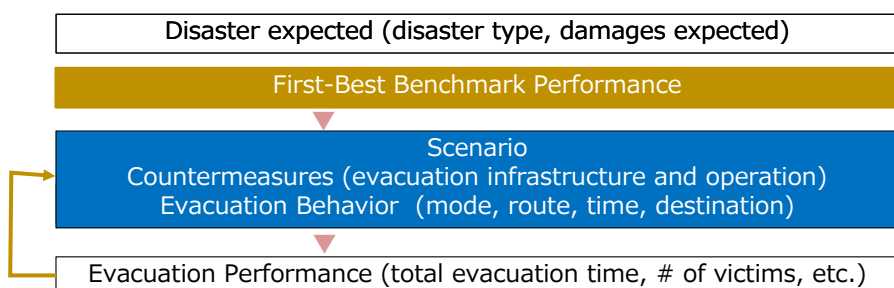
24

## 最適化結果



25

### First-Best Benchmark Analysis based on *Normative Evacuation Behavior*



A number of scenarios with behavioral uncertainty must be tested  
→ *Benchmark Scenario = Baseline performance must be understood*

